

**Corso di Elettronica**  
**- Anno Accademico 2016/2017 -**

---

# **Stadi di Amplificazione a Singolo Transistore**

**Laurea Triennale in Ingegneria Elettronica e Tecnologie dell'informazione**

---

Captain Mich

12th May, 2017

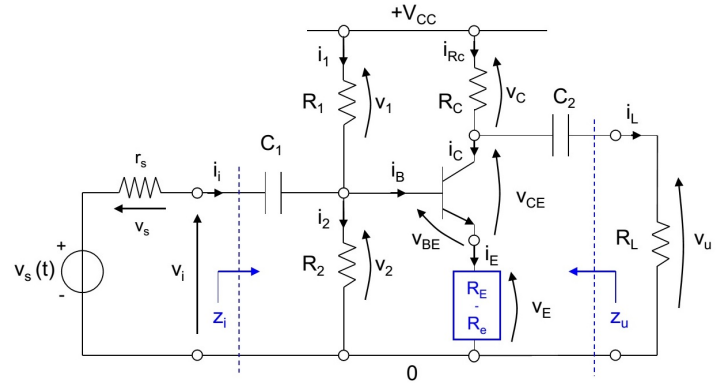
# Contents

<b>1</b>	<b>Stadio ad emettitore comune (CE)</b>	<b>1</b>
1.1	Stadio CE ad alta $z_i$ . . . . .	2
1.2	Stadio CE con modelli piu' dettagliati . . . . .	2
1.2.1	Modello con la resistenza di base $r_b$ . . . . .	2
1.2.2	Modello con la resistenza $r_o$ ed $R_e = 0$ . . . . .	2
1.2.3	Modello con la resistenza $r_o$ ed $R_e \neq 0$ . . . . .	3
1.2.4	Stadio CE con carico attivo . . . . .	3
<b>2</b>	<b>Stadio a source comune (CS)</b>	<b>4</b>
2.1	Stadio CS ad alta $z_i$ . . . . .	5
2.2	Stadio CS con modelli piu' dettagliati . . . . .	5
2.2.1	Modello con la resistenza $r_o$ ed $R_s = 0$ . . . . .	5
2.2.2	Modello con la resistenza $r_o$ ed $R_s \neq 0$ . . . . .	5
2.2.3	Stadio CS con carico attivo . . . . .	6
<b>3</b>	<b>Stadio a base comune (CB)</b>	<b>7</b>
3.1	Modello con la resistenza $r_o$ . . . . .	7
<b>4</b>	<b>Stadio a gate comune (CG)</b>	<b>8</b>
4.1	Modello con la resistenza $r_o$ . . . . .	8
<b>5</b>	<b>Stadio a collettore comune (CC)</b>	<b>9</b>
<b>6</b>	<b>Stadio a drain comune (CD)</b>	<b>10</b>
<b>7</b>	<b>Analisi in frequenza dei circuiti elettronici</b>	<b>11</b>

# 1 Stadio ad emettitore comune (CE)

$C_1, C_2$ : sono capacita' di disaccoppiamento; separano in CC ingresso e uscita dal circuito di polarizzazione.

- $r_s$  :  $z_u$  dello stadio precedente
- $R_L$  :  $z_i$  dello stadio successivo
- $R_E$  : R su E in polarizzazione
- $R_e$  : R su E ai p.s



Formule per il calcolo ai piccoli segnali:  $g_m = \frac{|I_C|}{V_T}$       $r_\pi = \frac{\beta_0}{g_m}$

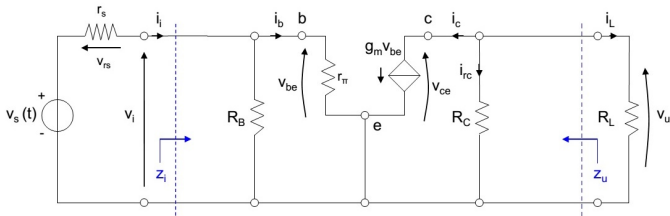


Figure 1: Circuito ai p.s con  $R_e = 0$

$\Rightarrow$  se  $R_e = 0$ :

$$A_V = -g_m(R_C // R_L) = -\frac{R_C // R_L}{R_C} \frac{V_C}{V_T} \quad \left[ |A_V|_{max} = \frac{V_C}{V_T} \right]$$

$$A'_V = \frac{z_i}{r_s + z_i} A_V = \frac{R_B // r_\pi}{R_C} A_V \quad z_i = R_B // r_\pi \quad z_u = R_C$$

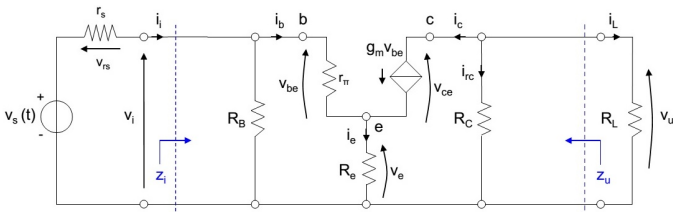


Figure 2: Circuito ai p.s con  $R_e \neq 0$

$\Rightarrow$  se  $R_e \neq 0$ :

$$A_V = -\frac{g_m r_\pi (R_C // R_L)}{(g_m r_\pi + 1) R_e + r_\pi} \cong -\frac{g_m (R_C // R_L)}{g_m R_e + 1}$$

$$A'_V = \frac{z_i}{r_s + z_i} A_V$$

$$z_i = R_B // [(g_m r_\pi + 1) R_e + r_\pi] \quad z_u = R_C$$

**Nota:** nell'ultimo caso e' possibile effettuare alcune semplificazioni se sono verificate certe condizioni:

$$A_V = -\frac{g_m (R_C // R_L)}{g_m R_e + 1} \cong -\frac{(R_C // R_L)}{R_e} \quad (\text{se } g_m R_e \gg 1)$$

$$z_i = R_B // [(g_m r_\pi + 1) R_e + r_\pi] \cong R_B \quad (\text{se } R_B \ll \beta_0 R_e)$$

### 1.1 Stadio CE ad alta $z_i$

Il circuito ai p.s. identico a quello CE standard

$$A_V = -\frac{g_m r_\pi (R_C // R_L)}{(g_m r_\pi + 1)R_e + r_\pi} \cong -\frac{g_m (R_C // R_L)}{g_m R_e + 1}$$

$$z_i = R_B // [(g_m r_\pi + 1)R_e + r_\pi] \quad z_u = R_C$$

- $R_B$  molto maggiore del CE standard  
 $\Rightarrow$  e' uno stadio ad alta  $z_i$
- **Nota** : se l'ingresso non e' disaccoppiato in CC,  $R_B$  e' infinita

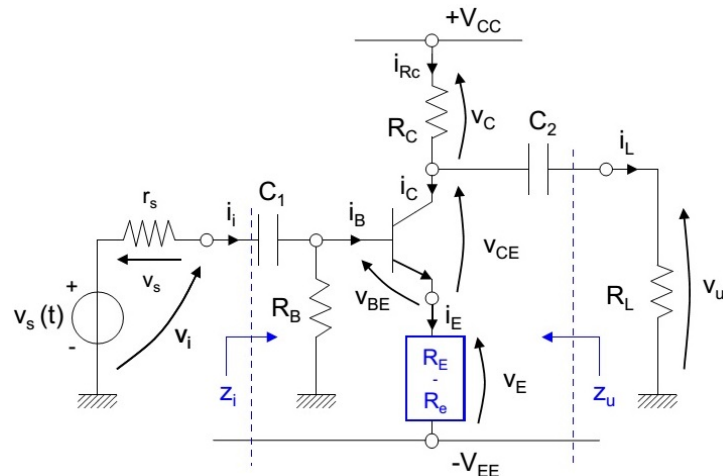


Figure 3: Circuito ad alta  $z_i$

### 1.2 Stadio CE con modelli piu' dettagliati

#### 1.2.1 Modello con la resistenza di base $r_b$

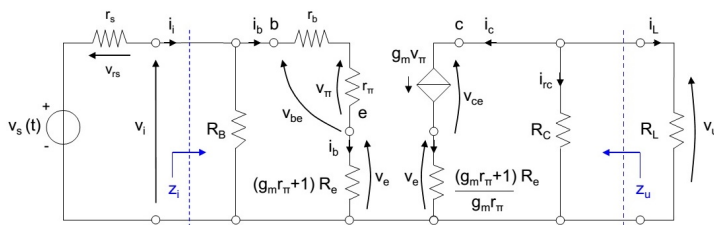


Figure 4: Circuito con  $r_b$

$$A_V = -\frac{g_m r_\pi (R_C // R_L)}{(g_m r_\pi + 1)R_e + r_\pi + r_b} \cong -\frac{g_m (R_C // R_L)}{g_m R_e + 1 + r_b/r_\pi}$$

$$z_i = R_B // [(g_m r_\pi + 1)R_e + r_\pi + r_b] \quad z_u = R_C$$

#### 1.2.2 Modello con la resistenza $r_o$ ed $R_e = 0$

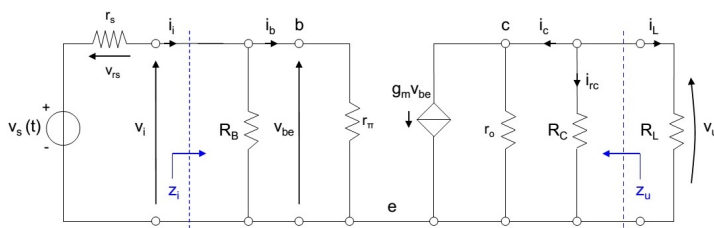


Figure 5: Circuito con  $r_o$  ed  $R_e = 0$

$$A_V = -g_m (r_o // R_C // R_L)$$

$$z_i = R_B // r_b \quad z_u = r_o // R_C$$

1.2.3 Modello con la resistenza  $r_o$  ed  $R_e \neq 0$

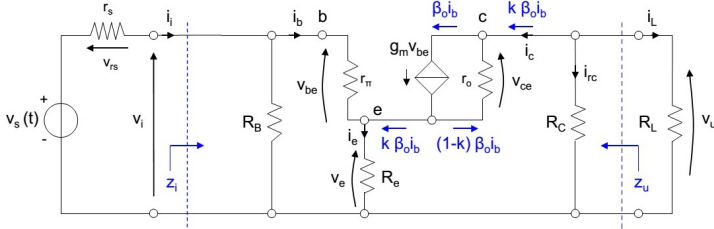


Figure 6: Circuito con  $r_o$  ed  $R_e \neq 0$

$$k = \frac{\beta_o r_o - R_e}{\beta_o [R_e + (R_C // R_L) + r_o]} \cong \frac{r_o}{(R_C // R_L) + r_o}$$

$$A_V = - \frac{k g_m r_\pi (R_C // R_L)}{(k g_m r_\pi + 1) R_e + r_\pi} \cong - \frac{k g_m (R_C // R_L)}{k g_m R_e + 1}$$

$$z_i = R_B // [(k g_m r_\pi + 1) R_e + r_\pi]$$

$$z_u = z_u^* // R_C \cong \{r_o (1 + g_m [r_\pi // R_e]) // R_C\}$$

1.2.4 Stadio CE con carico attivo

Versione a doppia alimentazione con :

- $R_C = r_{o,2}$  del trans. pnp dello specchio
- $r_o = r_{o,1}$  del trans. 1

$$A_V = - \frac{k g_m (r_{o,2} // R_L)}{k g_m R_e + 1} \cong - \frac{g_m (r_{o,1} // r_{o,2} // R_L)}{k g_m R_e + 1}$$

Nel caso di  $R_L = \infty$  ed  $R_e = 0$ , abbiamo:

$$\left[ |A_V|_{max} = \frac{V_A + V_C}{V_T} \frac{r_{o,1}}{r_{o,1} + r_{o,2}} \right]$$

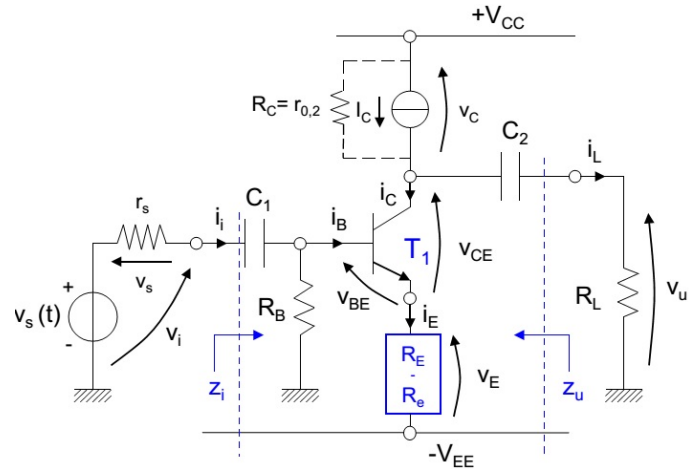


Figure 7: Stadio CE con carico attivo

## 2 Stadio a source comune (CS)

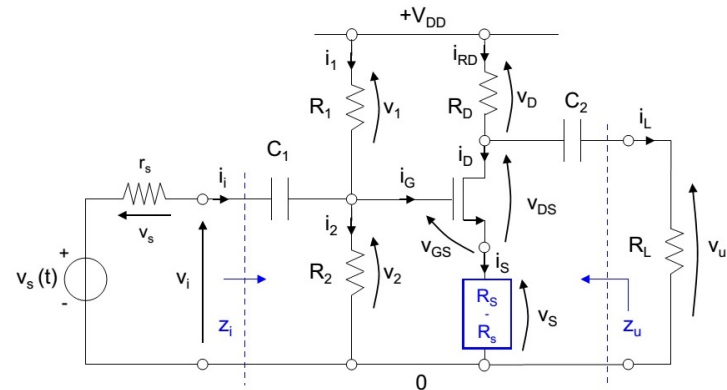
$C_1, C_2$ : sono capacita' di disaccoppiamento; separano in CC ingresso e uscita dal circuito di polarizzazione.

$r_s$  :  $z_u$  dello stadio precedente

$R_L$  :  $z_i$  dello stadio successivo

$R_S$  : R su S in polarizzazione

$R_s$  : R su S ai p.s



Formule per il calcolo ai piccoli segnali:  $g_m = \beta_n |V_{GS} - V_{Th}|$

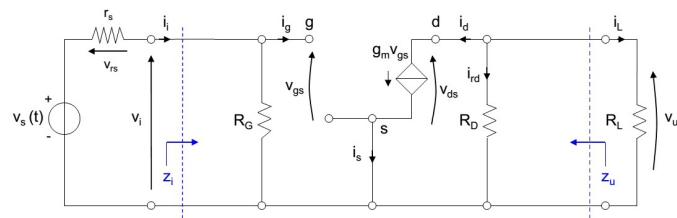


Figure 8: Circuito ai p.s con  $R_s = 0$

$\Rightarrow$  se  $R_s = 0$ :

$$A_V = -g_m (R_D // R_L) = -\frac{R_D // R_L}{R_D} \frac{2V_D}{|V_{GS} - V_{Th}|}$$

$$\left[ |A_V|_{max} = \frac{2V_D}{|V_{GS} - V_{Th}|} \right] \quad A'_V = \frac{z_i}{r_s + z_i} A_V = \frac{R_G}{r_s + R_G} A_V$$

$$z_i = R_G \quad z_u = R_D$$

**Nota:** e' stato usato [  $g_m = 2I_D / (V_{GS} - V_{Th})$  ]

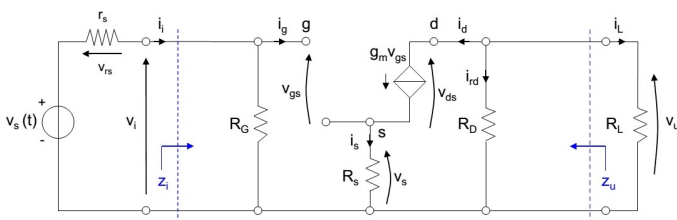


Figure 9: Circuito ai p.s con  $R_s \neq 0$

$\Rightarrow$  se  $R_s \neq 0$ :

$$A_V = -\frac{g_m (R_D // R_L)}{(g_m R_s + 1)} \quad A'_V = \frac{r_s}{r_s + R_G} A_V$$

$$z_i = R_G$$

$$z_u = R_D$$

**Nota:** nell'ultimo caso e' possibile effettuare una semplificazione sotto opportuna condizione:

$$A_V = -\frac{g_m (R_D // R_L)}{g_m R_s + 1} \cong -\frac{(R_D // R_L)}{R_s} \quad (\text{se } g_m R_s \gg 1)$$

## 2.1 Stadio CS ad alta $z_i$

Il circuito ai p.s. identico a quello CS standard

$$A_V = -\frac{g_m(R_D // R_L)}{g_m R_s + 1}$$

$$z_i = R_G \quad z_u = R_D$$

- $R_G$  molto maggiore del CS standard  
 $\Rightarrow$  e' uno stadio ad alta  $z_i$
- **Nota** : se l'ingresso non e' disaccoppiato in CC,  $R_G$  e' infinita

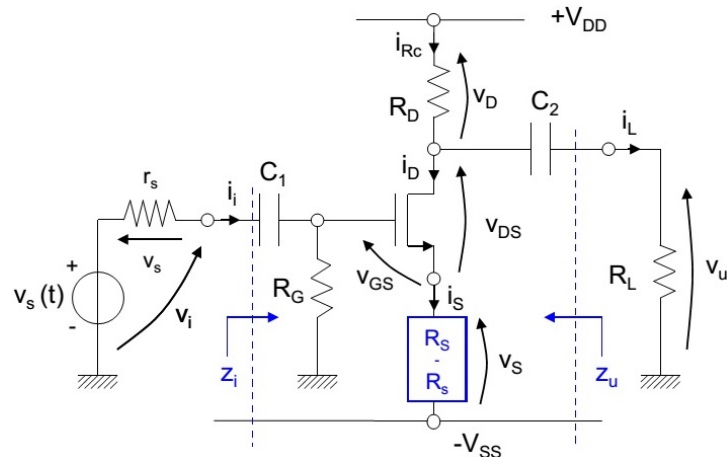


Figure 10: Circuito ad alta  $z_i$

## 2.2 Stadio CS con modelli piu' dettagliati

### 2.2.1 Modello con la resistenza $r_o$ ed $R_s = 0$

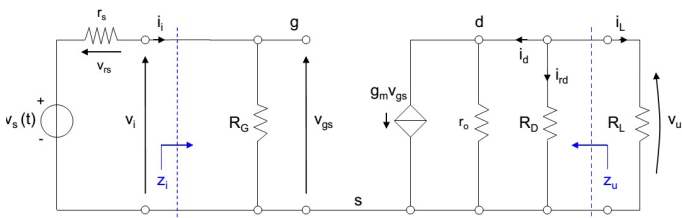


Figure 11: Circuito con  $r_o$  ed  $R_s = 0$

$$A_V = -g_m(r_o // R_D // R_L)$$

$$z_i = R_G \quad z_u = r_o // R_D$$

### 2.2.2 Modello con la resistenza $r_o$ ed $R_s \neq 0$

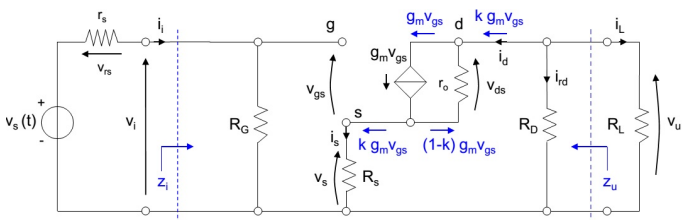


Figure 12: Circuito con  $r_o$  ed  $R_s \neq 0$

$$k = \frac{g_m r_o}{g_m [R_s + (R_D // R_L) + r_o]} \cong \frac{r_o}{(R_D // R_L) + r_o}$$

$$A_V = -\frac{k g_m (R_D // R_L)}{k g_m R_s + 1}$$

$$z_i = R_G \quad z_u = z_u^* // R_D \cong (r_o (1 + g_m R_s) // R_D)$$

### 2.2.3 Stadio CS con carico attivo

Versione a doppia alimentazione con :

- $R_D = r_{o,2}$  del trans. PMOS dello specchio
- $r_o = r_{o,1}$  del trans. 1

$$A_V = - \frac{kg_m(r_{o,2} // R_L)}{kg_m R_s + 1} \cong - \frac{g_m(r_{o,1} // r_{o,2} // R_L)}{kg_m R_s + 1}$$

Nel caso di  $R_L = \infty$  ed  $R_s = 0$ , abbiamo:

$$\left[ |A_V|_{max} = \frac{2(V_A + V_D)}{|V_{GS} - V_{Th}|} \frac{r_{o,1}}{r_{o,1} + r_{o,2}} \right]$$

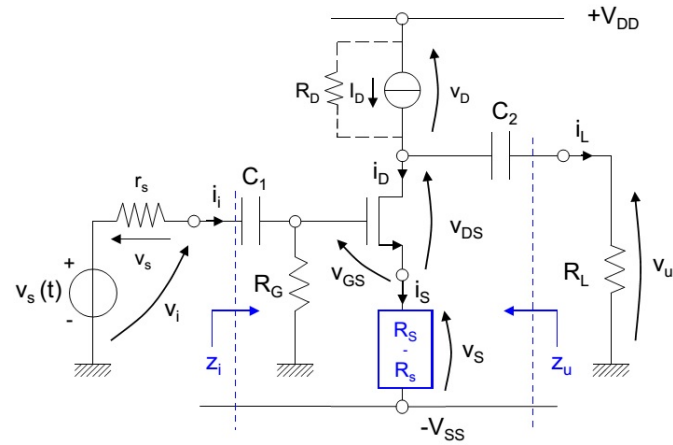


Figure 13: Stadio CS con carico attivo

### 3 Stadio a base comune (CB)

La porta d'ingresso e' sull'emettitore, l'uscita e' sul collettore; la base e' messa a massa da  $C_B$  nel circuito ai p.s.

$C_1, C_2$  separano in continua ingresso e uscita dal circuito di polarizzazione.

**Nota:** con  $V_{CC}, -V_{EE}$  B e' collegata a massa e non ci sono  $R_B$  e  $C_B$

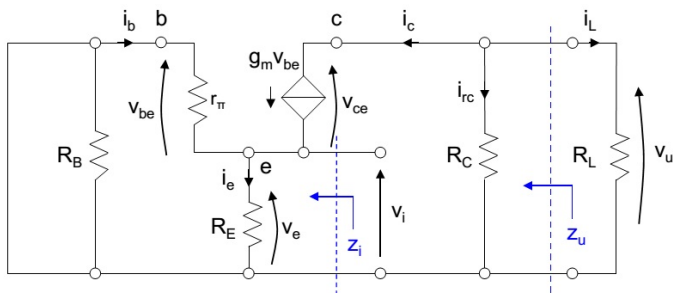
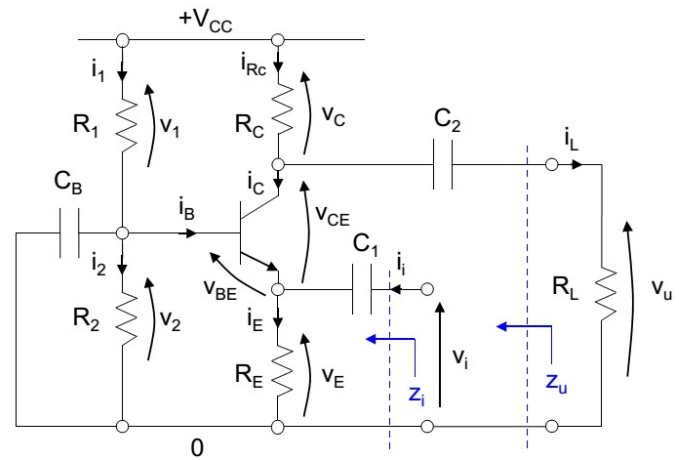


Figure 14: Circuito ai p.s

$$A_V = \frac{v_u}{v_i} = g_m(R_C // R_L) \quad z_u = R_C$$

$$z_i = \frac{1}{g_m} // R_E // r_\pi \cong \frac{1}{g_m}$$

#### 3.1 Modello con la resistenza $r_o$

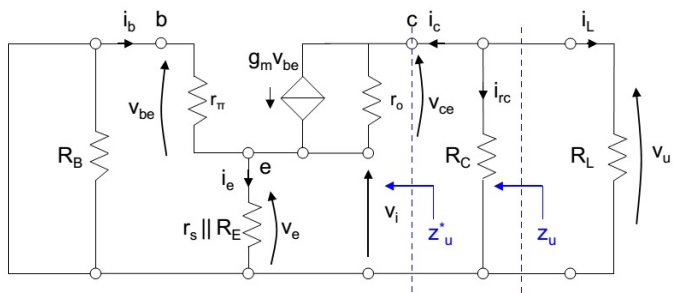


Figure 15: Circuito ai p.s

$$A_V = - \frac{k g_m r_\pi (R_C // R_L)}{(k g_m r_\pi + 1) R_e + r_\pi} \cong - \frac{k g_m (R_C // R_L)}{k g_m R_e + 1}$$

$$z_i = R_B // [(k g_m r_\pi + 1) R_e + r_\pi]$$

$$z_u = z_u^* // R_C \cong \{r_o (1 + g_m [r_\pi // r_s // R_E]) // R_C\}$$

## 4 Stadio a gate comune (CG)

La porta d'ingresso e' sul source, l'uscita e' sul drain; il gate e' messo a massa da  $C_G$  nel circuito ai p.s.

$C_1, C_2$  separano in continua ingresso e uscita dal circuito di polarizzazione.

**Nota:** con  $V_{DD}, -V_{SS}$  G e' collegata a massa e non ci sono  $R_G$  e  $C_G$

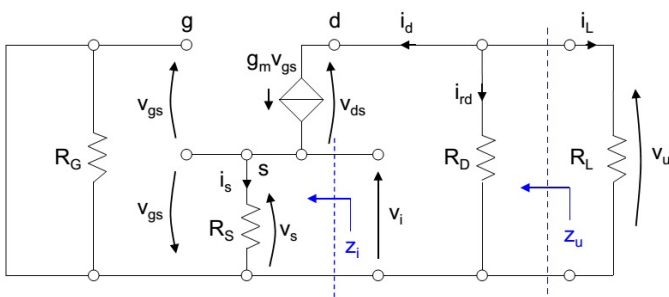
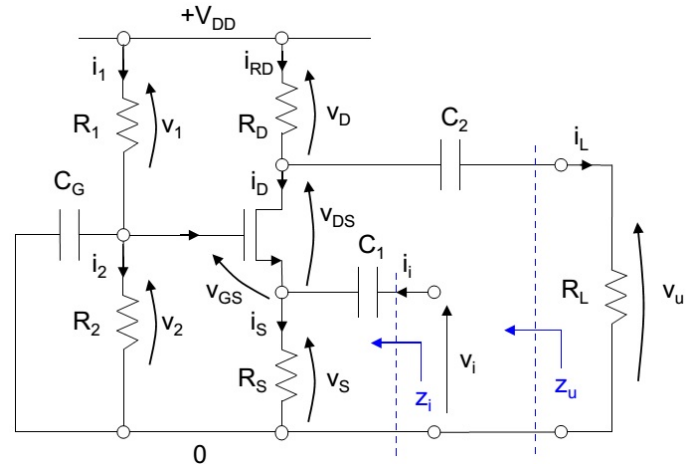


Figure 16: Circuito ai p.s

$$A_V = \frac{v_u}{v_i} = gm(R_D // R_L)$$

$$z_i = \frac{1}{gm} // R_S \cong \frac{1}{gm}$$

$$z_u = R_D$$

$$\text{(solo se } \frac{1}{gm} \ll R_S \text{)}$$

### 4.1 Modello con la resistenza $r_o$

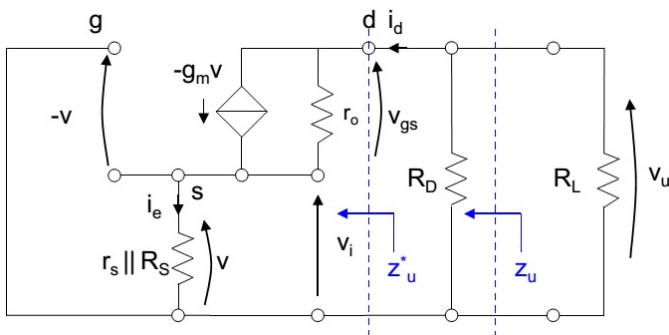


Figure 17: Circuito ai p.s

$$A_V = - \frac{kg_m(R_D // R_L)}{kg_m R_s + 1}$$

$$z_i = R_G$$

$$z_u = z_u^* // R_D \cong (r_o(1 + gm r_s) // R_S) // R_D$$

## 5 Stadio a collettore comune (CC)

La porta d'ingresso e' sulla base, l'uscita e' sullemettitore; il collettore e' collegato direttamente all'alimentazione  $V_{CC}$

**Polarizzazione statica:** sull'uscita si fissa di solito

$V_E = V_{CE} = V_{CC}/2$ , sulla porta d'ingresso si usano le stesse regole del CE.

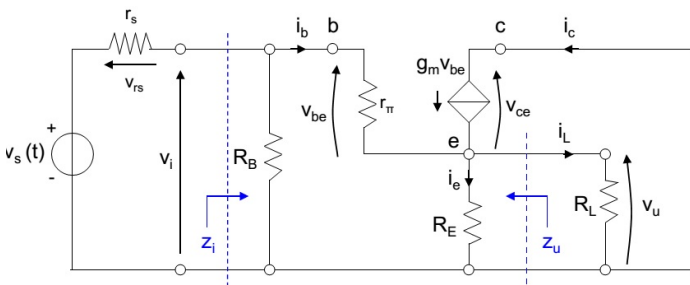
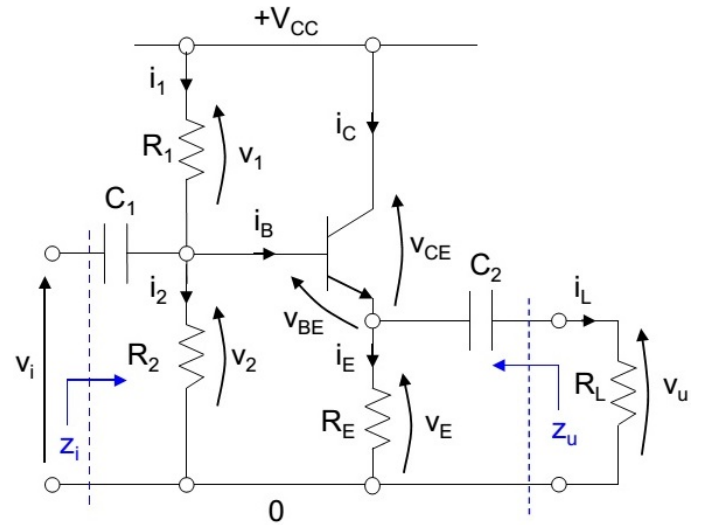


Figure 18: Circuito ai p.s

$$A_V = \frac{(g_m r_\pi + 1)(R_E // R_L)}{(g_m r_\pi + 1)(R_E // R_L) + r_\pi} \cong \frac{g_m(R_E // R_L)}{g_m(R_E // R_L) + 1} < 1$$

$$z_i = R_B // [(g_m r_\pi + 1)(R_E // R_L) + r_\pi]$$

$$z_u = \frac{1}{k g_m} // R_E // (r_s // R_B) + r_\pi \cong \frac{1}{k g_m}$$

**Nota:** in centro banda il carico  $R_L$  e' in parallelo con  $R_E$

## 6 Stadio a drain comune (CD)

La porta d'ingresso e' sul gate, l'uscita e' sul source; il drain e' collegato direttamente all'alimentazione  $V_{DD}$

**Polarizzazione statica:** sull'uscita si fissa di solito

$V_S = V_{DS} = V_{DD}/2$ , sulla porta d'ingresso si usano le stesse regole del CS.

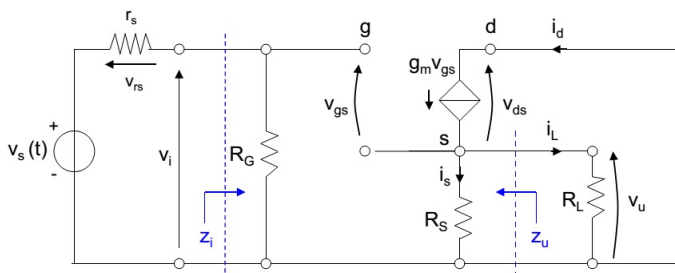
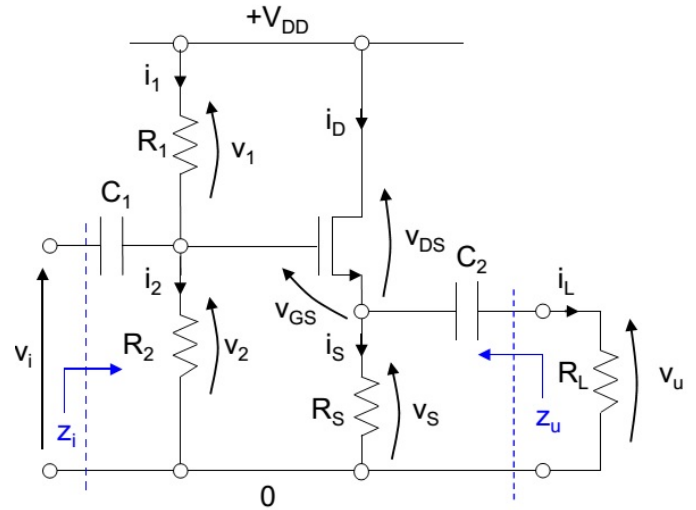


Figure 19: Circuito ai p.s

$$A_V = \frac{g_m(R_S // R_L)}{g_m(R_{ES} // R_L) + 1} < 1 \quad z_i = R_G$$

$$z_u = \frac{1}{g_m} // R_S \cong \frac{1}{g_m} \text{ (solo se } \frac{1}{g_m} \ll R_S)$$

**Nota:** in centro banda il carico  $R_L$  e' in parallelo con  $R_S$

## 7 Analisi in frequenza dei circuiti elettronici

E' possibile stimare in modo approssimato l'andamento in frequenza di un circuito, utilizzando il metodo delle costanti di tempo. Tale stima sara' tanto migliore quanto piu' ci si avvicina alle condizioni di polo dominante (poli distanti:  $\geq 1$  decade)

- **Cortocircuito** (alle basse frequenze): n capacita' di disaccopp.  $\Rightarrow$  n circuiti con una sola  $C_k$  e le altre n-1 cortocircuitate. Per ciascun circuito si calcola la  $R_{(C_k)}$  "vista" ai capi di  $C_k$

$$f_i \cong \frac{1}{2\pi} \sum_{k=1}^n \frac{1}{C_k R_{(C_k)}}$$

- **Circuito Aperto** (alle alte frequenze): p capacita' di comp.attivi  $\Rightarrow$  n circuiti con una sola  $C_k$  e le altre p-1 sono circuiti aperti. Per ciascun circuito si calcola la  $R_{(C_k)}$  "vista" ai capi di  $C_k$

$$f_s \cong \frac{1}{2\pi \sum_{k=1}^p C_k R_{(C_k)}}$$